

# 二元合金在双氧化剂中的腐蚀动力学实例分析

吴祥锋 郭启强 沈俊 牛焱

中国科学院金属研究所 沈阳 110016

**摘要:**提出了一种描述在双氧化剂( $X-Y$ )中、且生成有外氧化膜( $AY_n$ )的情况下,二元合金( $A-B$ )的腐蚀模型,并利用该模型对Fe-Cr合金的腐蚀动力学实例进行了分析。表明该模型的预测可信,而氧化剂在合金中的实际扩散路径复杂且尚难预见是导致内氧化区厚度的理论计算值与实验测定值之间存在较大偏差的主要原因。

**关键词:**Fe-Cr合金 双氧化剂 动力学

中图分类号: TG172 文献标识码: A 文章编号: 1002-6495(2016)05-0429-06

## A Kinetic Analysis of Experimental Results of High Temperature Corrosion Behavior of Binary Alloys by Two Oxidants

WU Xiangfeng, GUO Qiqiang, SHEN Jun, NIU Yan

*Institute of Metal Research, Chinese Academy of Sciences, Shenyang 110016, China*

**Abstract:** Model for describing the high temperature corrosion behavior of binary  $A-B$  alloys induced by two oxidants  $X-Y$  in the presence of an external scale of a compound  $AY_n$ . Then a kinetic analysis is made according to the proposed corrosion model for the experimental results of corrosion of several binary alloys in oxygen-sulfur containing gas mixture at 800 °C. It shows that the prediction of the proposed model is receivable. However, the practical diffusion path of the two oxidants  $X-Y$  in the alloys is rather complex and thus hard to fully foresee, which therefore may result in certain deviations between the experimental values of the thicknesses of the internal oxidation zone and those obtained by calculation.

**Key words:** Fe-Cr alloy, two oxidant, kinetic analysis

### 1 前言

在高温环境中(如燃气轮机,热交换器等)服役的合金,往往遭遇多氧化剂(如硫,氧,碳等)气氛的侵蚀,合金的服役可靠性<sup>[1-4]</sup>会受到影响,因此,澄清合金在多氧化剂环境中的腐蚀行为对于合金设计和应用具有重要意义。迄今,有关二元合金在双氧化剂下腐蚀的研究多侧重在热力学分析<sup>[3,5,6]</sup>,而对其动力学过程分析则少有报道<sup>[7,8]</sup>。Meijering<sup>[9]</sup>提出了一

种固溶合金在双氧化剂下同时内氧化的数学处理方法; Gesmundo等<sup>[7]</sup>提出了一种在双氧化剂中、且无外氧化膜情况下,二元合金的腐蚀模型;新近,Guo等<sup>[10]</sup>又提出了一种新的模型,用于描述在双氧化剂中且生成外氧化膜情况下,二元合金的腐蚀动力学过程,讨论了合金成分、氧化剂的扩散系数以及外氧化膜的生长速率对内氧化区生长动力学的影响。但由于腐蚀膜结构受环境气氛影响很大,所以,改变环境气氛的组成,可能会形成不同于Guo等<sup>[10]</sup>提出的腐蚀模型。因此,为进一步丰富和发展在双氧化剂下且有外氧化膜存在时的二元合金腐蚀理论,本论文提出了另外一种模型,以试图解析在O-S双氧化剂中且生成外氧化膜情况下Fe-Cr系二元合金的腐蚀过程。随后设计了两种Fe-Cr合金,研究

定稿日期: 2016-01-04

基金项目: 国家自然科学基金项目(50971129和51371183)资助

作者简介: 吴祥锋,男,1989年生,硕士

通讯作者: 吴祥锋, E-mail: wuxf90@126.com, 研究方向为混合气氢高温氧化

DOI: 10.11903/1002.6495.2015.381

它们在O-S混合气氛中的腐蚀行为,并以此验证所提模型的适用性。

## 2 模型

有关在双氧化剂中二元合金(A-B)腐蚀模型已有报道<sup>[7,10]</sup>,其中文献[7]中仅仅分析了无外氧化膜存在时的腐蚀模型,没有考虑生成外氧化膜时的情况,文献[10]中虽然讨论了有外氧化膜存在时的情况,但仅仅讨论了生成一种外氧化膜时的情况,并没有讨论因环境成分改变而可能形成另一种外氧化膜时的情况。基于此,本论文将提出另外一种不同于文献[10]中的腐蚀模型。

本论文中所提出的二元合金(A-B)(其中A为惰性组元,B为活性组元)在双氧化剂(X-Y)(其中X为能与合金组元生成最稳定的氧化物的氧化剂,Y为能与合金组元生成次稳定的氧化物的氧化剂)中、且有外氧化膜存在时的腐蚀模型建立在如下基本假设条件下:(1)体系中只形成 $AX_m$ 、 $AY_n$ 、 $BX_v$ 和 $BY_\mu$ 等4种化合物,且它们不互溶,也不形成尖晶石类复合氧化物;(2)四种化合物的稳定性顺序为: $AX_m > AY_n$ ,  $BX_v > BY_\mu$ ;(3)体系中 $X_2$ 和 $Y_2$ 的活度只能让 $AY_n$ 、 $BX_v$ 和 $BY_\mu$ 生成,不形成 $AX_m$ ;其中 $X_2$ 是对应氧化剂X的双原子气体分子, $Y_2$ 是对应氧化剂Y的双原子气体分子;(4)合金基体中B的含量低于发生由内氧化转化为外氧化所需的临界含量;(5)B的内氧化和外氧化膜 $AY_n$ 的生长动力学都遵循扩散控制的抛物线规律<sup>[11]</sup>;(6)B内氧化物 $BX_v$ 和 $BY_\mu$ 均匀混合;(7)外氧化膜 $AY_n$ 和内氧化混合区的分界面清晰平直。

此处不同于文献[10]中的假设主要有:因环境气氛不同,而生成的外氧化膜不同;因氧化剂扩散路径的不同,而生成的内氧化区的分布不同。

此外,关于浓度分布情况的假设有:(1) $x \leq \xi$ 时,与 $N_B^0$ 相比, $N(B)=0$ ;(2) $x < \xi$ 时,X和Y的活度能维持 $BX_v$ 和 $BY_\mu$ 共存;(3) $x \geq \xi$ 时,X和Y的活度为0, $N(B) \rightarrow N_B^0$ 。(其中,x为从原始合金表面到合金内部的距离, $\xi$ 为内氧化前沿的厚度(或内氧化膜/合金基体的界面), $N_B^0$ 为合金基体中元素B的含量)。

关于外腐蚀膜和内氧化区界面处( $x=\eta$ )( $\eta$ 为形成外氧化膜 $AY_n$ 所消耗的基体合金厚度),界面条件的假设有:(1)由于在 $x=\eta$ 处,外膜稳定存在,故可假设此界面处 $Y_2$ 的压力 $P_{Y_2(int)}$ 与 $A/AY_n$ 的分解压 $P_{Y_2(A/AY_n)}$ 相等,则此界面处Y在合金中的溶解度为 $N_Y^s=N_Y^{so}$ (其中 $N_Y^{so}$ 是在 $A/AY_n$ 平衡分解压下Y在合金中的溶解度);(2)此界面处 $X_2$ 的压力 $P_{X_2(int)}$ 为 $BX_v$

和 $BY_\mu$ 处于平衡状态时 $X_2$ 的压力,则此界面处X在合金中的溶解度 $N_X^{s[9]}$ 为: $N_X^s=N_X^{so} \sqrt{\frac{P_{X_2(int)}}{P_{X_2(A/AX_m)}}}$ (其中 $P_{X_2(A/AX_m)}$ 是 $A/AX_m$ 的平衡分解压, $N_X^{so}$ 是在压力 $P_{X_2(A/AX_m)}$ 下时X在合金中的溶解度)。

基于以上假设,在双氧化剂(X-Y)下、且有外氧化膜 $AY_n$ 存在时,二元合金(A-B)的另外一种腐蚀理论截面以及浓度曲线见图1,其中有相对应的外腐蚀膜(zone I)和内氧化区(zone II)的简化分布模型。

## 3 问题分析

### 3.1 热力学分析

为满足图1所示的情况,另外还必须要满足一些热力学条件<sup>[12]</sup>:

(1)平衡常数: $J_1/K_1 > J_2/K_2$ ,其中 $K_1$ , $K_2$ , $J_1$ 和 $J_2$ 分别是 $AX_m$ 、 $BX_v$ 、 $AY_n$ 和 $BY_\mu$ 的平衡常数;(2) $BX_v$ 和 $AX_m$ 平衡时B的量小于 $BY_\mu$ 和 $AY_n$ 平衡时B的量。

根据二元合金双氧化剂热力学相图分析<sup>[12]</sup>可知,随B含量 $N(B)$ 的增加有3种腐蚀模型:

(1) $0 < N(B) < x(E1)$ (合金与 $BX_v$ 和 $AX_m$ 混合物平衡时B的含量)时: $BX_v$ 和 $BY_\mu$ 不稳定<sup>[12]</sup>;(2) $x(E1) < N(B) < x(E2)$ (合金与 $AY_n$ 和 $BY_\mu$ 混合物平衡时B的含量)时:只形成 $BX_v$ ;(3) $x(E2) < N(B) < 1$ 时, $BX_v$ 、 $BY_\mu$ 或 $BX_v$ 和 $BY_\mu$ 的混合层都可以形成。

本论文只考虑第三种情况,即 $x(E2) < N(B) < 1$ 时,在有外氧化膜 $AY_n$ 生成情况下,沿一定合金组成的A-B-X-Y等温截面图如图2所示:

(1)线F1-F3,F3- $\varepsilon_2$ , $\varepsilon_2$ - $\varepsilon_1$ , $\varepsilon_1$ -E1和水平轴包围区是合金和 $BX_v$ 混合区;(2)线F2-F3,F3- $\varepsilon_2$ 和 $\varepsilon_2$ -E2包围区是 $BX_v$ 和 $BY_\mu$ 的混合区;(3)线 $\varepsilon_1$ -E1的右边和

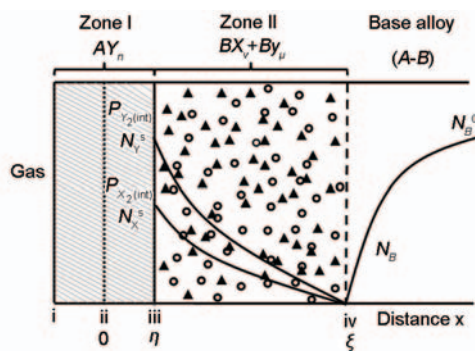


图1 腐蚀模型截面图

Fig.1 Schematic view of a cross section of a corroded sample ((i) actual scale /gas interface; (ii) original alloy/gas interface; (iii) actual alloy/scale interface; (iv) internal oxidation front)

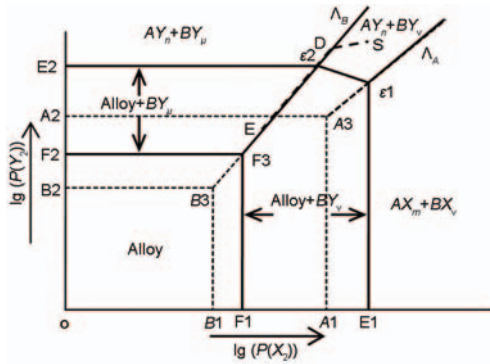


图2 沿一定合金成分 ( $1 > NB > x(E2)$ ) 时四元系 A-B-X-Y 等温相图

Fig.2 Section along planes of alloy composition of the isothermal phase diagram of quaternary A-B-X-Y system with  $1 > NB > x(E2)$  (The dashed lines S → D → E show a schematic shape of the corresponding diffusion path)

线 $\Lambda_A$ 的下方区域是 $AX_m$ 和 $BX_v$ 的混合区;(4) 线 $\epsilon_2$ -E2的上方和线 $\Lambda_B$ 的下方是 $AY_n$ 和 $BY_\mu$ 的混合区;(5) 线 $\Lambda_A$ 的下方,  $\Lambda_B$ 线和 $\epsilon_2$ - $\epsilon_1$ 的上方是 $AY_n$ 和 $BX_v$ 的混合区。

其中,  $(A1-A3)/(A2-A3)$  是 A-X-Y 三元体系相图对应的分界线,  $(B1-B3)/(B2-B3)$  为 B-X-Y 三元体系相图对应的分界线, E1- $\epsilon_1$  为含  $N_B^0 = x(E1)$  的合金与  $AX_m$  和  $BX_v$  混合物平衡时的分界线, E2- $\epsilon_2$  为含  $N_B^0 = x(E1)$  的合金与  $AY_n$  和  $BY_\mu$  混合物平衡时的分界线,  $\epsilon_1$ - $\epsilon_2$  为合金与  $AY_n$  和  $BX_v$  混合物平衡时的分界线, F1-F3 为给定合金成分的合金与  $BX_v$  平衡时的分界线, F2-F3 为给定合金成分的合金与  $BY_\mu$  平衡时的分界线,  $\Lambda_A$  为  $AX_m$  与  $AY_n$  平衡时的分界线,  $\Lambda_B$  为  $BX_v$  与  $BY_\mu$  平衡时的分界线。

假设合金所处环境气氛为点 S ( $AY_n$  和  $BX_v$  混合区, 其中  $AY_n$  为外氧化膜,  $BX_v$  是在外氧化膜下面的内氧化区), 随着腐蚀的进行, 气体扩散路径为 S → D → E, 这样得到的腐蚀模型可以为上面所建立的腐蚀模型理论 (如图1) 提供较好的理论支持。

### 3.2 动力学分析

假设外氧化膜  $AY_n$  的生长遵循抛物线规律<sup>[11,13]</sup>, 则:

$$\Phi^2 = k_y t \quad (1)$$

$$\eta^2 = k_c t \quad (2)$$

其中,  $\Phi$  是外氧化膜的厚度,  $\eta$  是形成外氧化膜  $AY_n$  所消耗的基体合金厚度,  $t$  是时间,  $k_y$  和  $k_c$  是相应的抛物线速率常数。

假设内氧化前沿的移动也遵循抛物线规律, 则在  $x = \xi$  时:

$$\xi^2 = 4\gamma_1^2 D_X t \quad (3)$$

或

$$\xi^2 = 4\gamma_2^2 D_Y t \quad (4)$$

其中,  $\gamma_2 = \gamma_1(D_X/D_Y)^{1/2}$ ,  $D_X$  和  $D_Y$  分别是 X 和 Y 在合金中的扩散系数,  $\gamma_1$  和  $\gamma_2$  分别是对应的动力学常数。

基于以上假设, 在  $x = \eta$  和  $x = \xi$  之间, X 和 Y 在合金中的浓度分布可以由菲克第二定律求得, 由边界条件: (1)  $x = \eta$ ,  $t \geq 0$  时,  $N_X = N_X^s$ ; (2)  $x > \eta$ ,  $t = 0$  时,  $N_X = 0$ ; (3)  $x = \xi$ ,  $t > 0$  时,  $N_X = 0$ ; (4)  $x = \eta$ ,  $t \geq 0$  时,  $N_Y = N_Y^s$ ; (5)  $x > \eta$ ,  $t = 0$  时,  $N_Y = 0$ ; (6)  $x = \xi$ ,  $t > 0$  时,  $N_Y = 0$ , 可得:

$$N_X = N_X^s - N_X^s \frac{\text{erf}(u_1) - \text{erf}(\frac{x}{\sqrt{D_X t}})}{\text{erf}(u_1) - \text{erf}(\gamma_1)}, (\eta \leq x \leq \xi) \quad (5)$$

其中,  $u_1 = \frac{1}{2} \sqrt{\frac{k_c}{D_X}}$ ,  $N_X^s$  是  $x = \eta$  时 X 在合金中的溶解度。

$$N_Y = N_Y^s - N_Y^s \frac{\text{erf}(u_2) - \text{erf}(\frac{x}{\sqrt{D_Y t}})}{\text{erf}(u_2) - \text{erf}(\gamma_2)}, (\eta \leq x \leq \xi) \quad (6)$$

其中,  $u_2 = \frac{1}{2} \sqrt{\frac{k_c}{D_Y}}$ ,  $N_Y^s$  是  $x = \eta$  时 Y 在合金中的溶解度。则 X 和 Y 在  $x = \xi - \epsilon$  时的扩散通量  $J_X(\xi - \epsilon)$  和  $J_Y(\xi - \epsilon)$  (其中  $\epsilon$  是微小变量<sup>[14]</sup>) 为:

$$J_X(\xi - \epsilon) = \frac{C^0 N_X^s \sqrt{\frac{D_X}{t}}}{\sqrt{\pi} \exp(\gamma_1^2) [\text{erf}(\gamma_1) - \text{erf}(u_1)]} \quad (7)$$

$$J_Y(\xi - \epsilon) = \frac{C^0 N_Y^s \sqrt{\frac{D_Y}{t}}}{\sqrt{\pi} \exp(\gamma_2^2) [\text{erf}(\gamma_2) - \text{erf}(u_2)]} \quad (8)$$

其中,  $C^0$  是二元合金 (A-B) 中 A+B 的总浓度 ( $\text{mol}/\text{cm}^3$ )。

与 Wagner 处理内氧化情况一致<sup>[14]</sup>, 与合金基体中 B 的含量  $N_B^0$  相比, 内氧化区中 B 的含量忽略不计, 则在  $x > \xi$  时 B 的浓度曲线可由菲克第二定律求得, 边界条件为: (1)  $x = \xi$ ,  $t > 0$  时,  $N_B = 0$ ; (2)  $x = \infty$ ,  $t \geq 0$  时,  $N_B = N_B^0$ , 则,

$$N_B = N_B^0 \left[ \frac{\text{erf}(\frac{x}{\sqrt{4D_B t}}) - \text{erf}(h)}{\text{erfc}(h)} \right] (x \geq \xi) \quad (9)$$

其中,  $h = \gamma_1 \sqrt{\frac{D_X}{D_B}}$ 。由此可得当  $x = \xi + \epsilon$  时, B 的扩散通量,  $J_b(\xi + \epsilon)$ , 为:



$$J_B(\xi + \varepsilon) = \frac{C^0 N_B^0 \sqrt{\frac{D_B}{t}}}{\sqrt{\pi} \exp(h^2) \operatorname{erfc}(h)} \quad (10)$$

由于在  $x=\xi$  处,  $BX_v$  和  $BY_m$  会同时形成, 则  $X$ ,  $Y$  和  $B$  之间的扩散通量需满足如下条件:

$$J_B(\xi + \varepsilon) = \frac{1}{v} J_X(\xi - \varepsilon) + \frac{1}{\mu} J_Y(\xi - \varepsilon) \quad (11)$$

将公式 (10), (11) 和 (13) 代入公式 (14) 中可得:

$$N_B^0 = \frac{1}{v} \frac{F(h)}{G(\gamma_1)} \frac{N_X^s \operatorname{erf}(\gamma_1)}{\operatorname{erf}(\gamma_1) - \operatorname{erf}(u_1)} + \frac{1}{\mu} \frac{F(h)}{G(\gamma_2)} \frac{N_Y^s \operatorname{erf}(\gamma_2)}{\operatorname{erf}(\gamma_2) - \operatorname{erf}(u_2)} \quad (12)$$

其中辅助函数  $F(r)$  和  $G(r)$  分别为  $F(r) = \pi^{1/2} r \exp(r^2) \operatorname{erfc}(r)$  和  $G(r) = \pi^{1/2} r \exp(r^2) \operatorname{erf}(r)$ 。

## 4 实例论证

### 4.1 实验方法

实验所用合金为含 99.9%Fe 和 99%Cr (质量分数) 的 Fe-Cr 合金 (分别记作 Fe-9Cr, Fe-12Cr)。合金由纯度为 99.9%Fe 和 99%Cr 在纯 Ar 气保护下经真空感应熔炼, 制成直径为 5 cm, 高为 10 cm 的铸锭。合金铸锭在 960 °C,  $1 \times 10^5$  Pa Ar 中退火 36 h, 以消除残余应力。合金的名义成分及经 ICP 光谱分析测得的真实成分分别为 9.00% 和 11.77% (质量分数); 9.60% 和 12.56% (原子分数)。将热处理后的合金锭经线切割制成尺寸为 10 mm×8 mm×1.5 mm、表面积约 2 cm<sup>2</sup> 的片状试样。为便于悬挂, 在样品一边钻孔。表面磨至 2000#砂纸, 依次用丙酮、酒精超声清洗后干燥待用。

实验气氛定为 S1 和 S2, 温度为 800 °C, 详见表 1。实验前, 样品由石英丝、最终由 Pt 丝悬挂于可密闭的、装有多孔的 Pt 催化剂的石英管内, 并调节样品与催化剂的距离, 使其不要超过 1 cm。然后从石英管上、下分别通保护气 N<sub>2</sub> 和反应气 (H<sub>2</sub>—CO<sub>2</sub>—H<sub>2</sub>S) 达 30 min, 然后加热炉膛, 待达到反应温度, 将炉膛保温区升至样品高度。氧化-硫化增重由 Setaram B-92 记录。实验后样品用 X 射线衍射 (XRD, Panalytical X'pert PRO) 扫描电镜 (SEM, FEI INSPECTR50), 能谱 (EDX, OXFORD X-MAX) 分析观察氧化膜相组成和显微结构。

### 4.2 实验结果与讨论

实验的主要目的是验证上面所建腐蚀模型理论的可行性, 因此, 这里主要讨论实验得到的腐蚀截面的相应结果 (见图 3 和 4)。图 3 是 Fe-9Cr 合金在 S1 混合气中腐蚀 12 h 后的腐蚀截面图, 图 4 是 Fe-12Cr 合金在 S2 混合气中腐蚀 7 h 后的腐蚀截面图。其腐

蚀截面主要由分层的外腐蚀膜和混合物中间层构成。中间层/合金界面处主要出现两种情况: 一种主要是一层连续 Cr 的氧化物和 Cr 的硫化物的混合薄层, 另外一些局部区域出现少量呈岛状的内氧化物。经 EDX 和 XRD 分析知, 外膜主要是 FeS, 中间层主要是 FeS、Fe-Cr-O 和 Cr-O 的混合层, 局部出现的内氧化区为 Cr-S 和 Cr-O 混合物。

由此可见, 实际实验腐蚀膜结构与理论腐蚀模型有一定差距, 主要体现在: 实际实验中出现混合中间层; 腐蚀区/基体合金前沿处仅发生局部内氧化。为简化问题, 本文仅对出现内氧化区的情况, 就腐蚀动力学问题 (主要针对内氧化区的厚度) 进行分析。模型中所用符号  $A$ ,  $B$ ,  $X$ ,  $Y$  分别对应实验中 Fe, Cr, O, S。经 Matlab 编程计算得, Fe-9Cr 在 S1 下所得中间层厚度为  $\eta=27.75$  μm, 内氧化层厚度为 11.1 μm; Fe-12Cr 在 S2 下所得中间层厚度为  $\eta=$

表 1 800 °C, 初始实验气氛的组成及平衡时的氧分压和硫分压

Table 1 Initial experimental compositions (volume fraction) and the equilibrium partial pressures of  $P(\text{O}_2)$  and  $P(\text{S}_2)$  at 800 °C

Sample	CO <sub>2</sub> %	H <sub>2</sub> S %	H <sub>2</sub> %	$P(\text{O}_2)$ 10 <sup>5</sup> Pa	$P(\text{S}_2)$ 10 <sup>5</sup> Pa	$t$ h
S1	60	0.307	Balance	$1.2 \times 10^{-18}$	$9.2 \times 10^{-8}$	12
S2	29	0.3	Balance	$1.2 \times 10^{-19}$	$9.2 \times 10^{-9}$	7

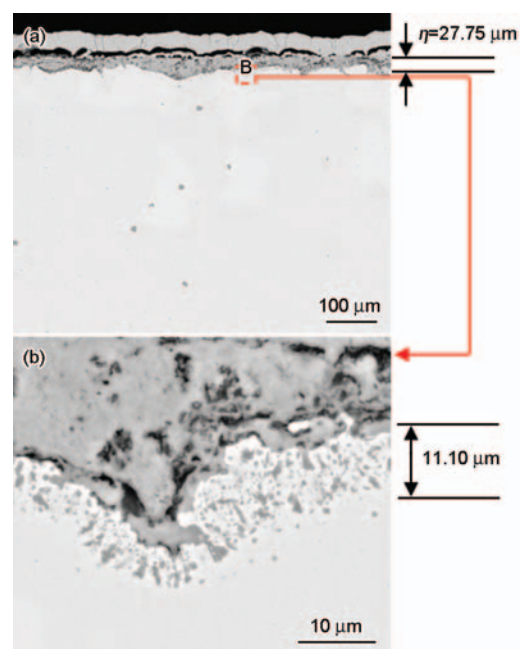


图 3 Fe-9Cr 合金在 S1 混合气中腐蚀 12 h 的腐蚀截面图  
Fig.3 Cross section (SEM/BEI) of Fe-9Cr corroded in S1 gas mixture at 800 °C for 12 h: (a) general review; (b) enlarged view of region B in Fig.3a

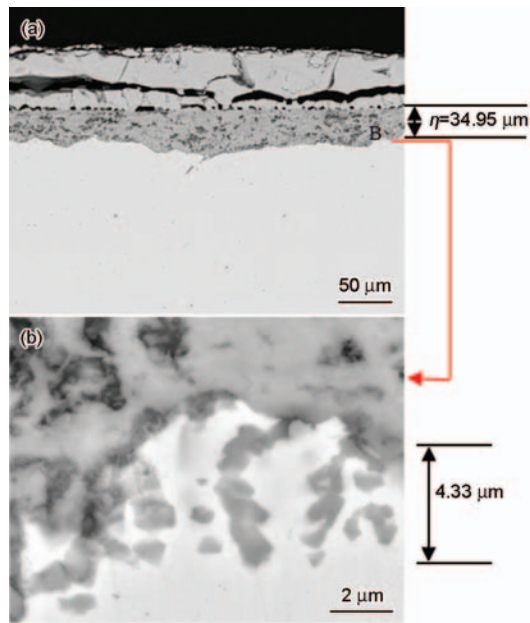


图4 Fe-12Cr合金在S2混合气中腐蚀7 h的腐蚀截面图  
Fig.4 Cross section (SEM/BEI) of Fe-12Cr corroded in S2 gas mixture at 800 °C for 7 h: (a) general re-view; (b) enlarged view of region B in Fig.4a

34.95 μm, 内氧化层厚度为4.33 μm。

首先, 讨论 Fe-9Cr 在 S1 混合气下, 实际内氧化厚度与理论计算内氧化厚度的情况:

在 Fe/FeO 平衡氧分压下, O 在  $\alpha$ -Fe 中的溶解度,  $N_O^{so[15]}$  为:

$$N_O^{so} = 1.5 \exp(-128.33 \text{ kJ/mol} / RT) \quad (13)$$

在 Fe/FeS 平衡硫分压下, S 在  $\alpha$ -Fe 中的溶解度,  $N_S^{so[16]}$  为:

$$N_S^{so} = 7.85 \times 10^3 \exp(-120.92 \text{ kJ/mol} / RT) \quad (14)$$

(注: 这里  $N_O^{so}$  是原子分数,  $N_S^{so}$  是质量分数, 具体计算时应统一使用原子分数进行计算。)

O, Cr 和 S 在  $\alpha$ -Fe 中的扩散系数<sup>[16-18]</sup>分别为:

$$D_O = 1.79 \times 10^{-3} \exp(-85.7 \text{ kJ/mol} / RT) \text{ cm}^2/\text{s} \quad (15)$$

$$D_{Cr} = 8.52 \exp(-250.6 \text{ kJ/mol} / RT) \text{ cm}^2/\text{s} \quad (16)$$

$$D_S = 1.68 \exp(-204.60 \text{ kJ/mol} / RT) \text{ cm}^2/\text{s} \quad (17)$$

根据模型可知, 由于外腐蚀膜和内氧化区界面处 ( $x=\eta$ ) 存在局部平衡, 所以假设界面处的硫压  $P_{S_2(int)}$  等于 Fe/FeS 的平衡硫分压  $P_{S_2(Fe/FeS)}$ , 即

$$P_{S_2(int)} = P_{S_2(Fe/FeS)} = 7.3 \times 10^{-10} \text{ atm} \quad (18)$$

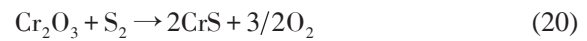
对应的 S 的溶解度为

$$N_S^s = N_S^{so} = 1.78 \times 10^{-4} \quad (19)$$

其中,  $P_{S_2(int)}$  为外腐蚀膜/内氧化区界面处 ( $x=\eta$ ) 的硫压,  $N_S^s$  是  $P_{S_2(int)}$  下 S 在  $\alpha$ -Fe 中的溶解度,  $P_{S_2(Fe/FeS)}$  是 800 °C 时 Fe/FeS 的分解压,  $N_S^{so}$  是  $P_{S_2(Fe/FeS)}$  下 S 在  $\alpha$ -Fe

中的溶解度。

由于在  $x=\eta+\varepsilon$  时,  $\text{Cr}_2\text{O}_3$  和  $\text{CrS}$  处于平衡状态:



则 800 °C 时,

$$K = P_{O_2(int)}^{\frac{3}{2}} / P_{S_2(int)} = 7.146 \times 10^{-30} \quad (21)$$

将公式 (18) 代入公式 (21) 得到外腐蚀膜/内氧化区界面处 ( $x=h$ ) 的氧压:

$$P_{O_2(int)} = 3.01 \times 10^{-26} \text{ atm} \quad (22)$$

相应的溶解度为<sup>[19]</sup>:

$$N_O^s = N_O^{so} \sqrt{P_{O_2(int)} / P_{O_2(Fe/FeO)}} = 4.3 \times 10^{-10} \quad (23)$$

将实验数据  $\eta=27.75 \mu\text{m}$  代入公式 (2) 可得:

$$k_c = 1.8 \times 10^{-10} \text{ cm}^2/\text{s} \quad (24)$$

则可求得  $u_1 = 1/2 \sqrt{k_c/D_{Cr}}$ ,  $u_2 = 1/2 \sqrt{k_c/D_S}$

将  $u_1$ ,  $u_2$ ,  $D_O$ ,  $D_{Cr}$ ,  $N_S^s$ ,  $N_O^s$  和  $N_{Cr}^0=0.096$  代入公式 (12), 可得  $\gamma_1 \approx 0.0231$ , 将  $\gamma_1$  代入公式 (3), 则此时理论计算的内氧化区厚度为  $5.25 \mu\text{m}$ , 比实际实验内氧化区厚度值  $11.1 \mu\text{m}$  小。

同理, 可计算得 Fe-12Cr 在 S2 下的腐蚀结果为: 理论计算的内氧化区厚度为  $9.05 \mu\text{m}$ , 比实际实验内氧化区厚度值  $4.33 \mu\text{m}$  较大。

导致上述理论计算内氧化区厚度值与实验内氧化区厚度值存在差异的主要原因有: 第一, 在  $x=\eta$  处的氧压并不与气氛中氧压相等, 使氧的溶解度和活度发生改变造成的; 第二, 由于在实际过程中, O 和 S 的实际扩散路径甚复杂且尚难预见, 无法确定其扩散路径一定按照图 2 中的  $S \rightarrow D \rightarrow E$  进行。虽然存在一定偏差, 但其理论计算的内氧化厚度与实际实验得到的内氧化厚度值基本在一个数量级, 所以本模型的预测仍可信。

## 5 结论

提出了一种在双氧化剂 ( $X-Y$ ) 下、有外氧化膜 ( $AY_n$ ) 存在时, 二元合金 ( $A-B$ ) 的内氧化腐蚀理论模型, 并就其可行性进行了实验验证。实际实验得到的腐蚀膜与理论腐蚀模型主要不同有: 实际实验出现混合中间层; 仅出现局部内氧化。经对出现内氧化区的情况进行动力学分析得, 内氧化区厚度的理论计算值与实验测定值之间存在一定偏差, 但其仍在同一个数量级。对于实际实验所得腐蚀膜结构与该论文中所建理论腐蚀膜结构不同的原因, 主要是由于氧化剂在合金内扩散路径甚复杂且尚难预见导致的。

## 参考文献

[1] Stringer J, Wright I G. Current limitations of high-temperature al-

- loys in partial applications [J]. *Oxid. Met.*, 1995, 44(1/2): 265
- [2] Wood G C, Stott F H. Directions for future-research in high-temperature corrosion [J]. *Oxid. Met.*, 1995, 44(1/2): 375
- [3] Birks N, Meier G H, Pettit F S. Introduction to High Temperature Oxidation of Metals [M]. 2nd Ed., New York: Cambridge University Press, 2006.
- [4] Lancaster J F. Materials for the petrochemical industry [J]. *Int. Met. Rev.*, 1978, 23(3): 101
- [5] Chu W F, Rahmel A. The scaling of metals in oxygen- and sulfur-containing atmospheres [J]. *Rev. High Temp. Mater.*, 1979, 4: 139
- [6] Xu H, Hocking M G, Sidky P S. Sulfidation-oxidation behavior of alloy 800H in  $\text{SO}_2$ - $\text{O}_2$  and  $\text{H}_2$ - $\text{H}_2\text{S}$ - $\text{CO}$ - $\text{CO}_2$  atmospheres [J]. *Oxid. Met.*, 1994, 41(1/2): 81
- [7] Gesmundo F, Niu Y. The formation of two layers in the internal oxidation of binary alloys by two oxidants in the absence of external scales [J]. *Oxid. Met.*, 1999, 51(1/2): 129
- [8] Liu L L, Guo Q Q, Zeng C L, et al. Corrosion of binary Fe-Si alloys in reducing oxidizing and sulfidizing- oxidizing atmospheres at 700 °C [J]. *Oxid. Met.*, 2014, 81: 477
- [9] Meijering J L. Internal oxidation in alloys. In: Herman H, ed., *Advances in Materials Research* [M]. New York: Wiley/Interscience, 1971: 1
- [10] Guo Q Q, Liu L L, Liu S, et al. Internal oxidation of binary A-B alloys by two oxidants: double internal oxidation of B in the presence of an external AX(m) scale [J]. *Oxid. Met.*, 2015, 83(3/4): 203
- [11] Wagner C. Theoretical analysis of the diffusion processes determining the oxidation rate of alloys [J]. *J. Electrochem. Soc.*, 1952, 99(10): 369
- [12] Wang S, Ni C S, Gesmundo F, et al. Isothermal phase diagrams of binary alloys and two oxidants [J]. *Oxid. Met.*, 2010, 73(3/4): 419
- [13] Gesmundo F, Viani F. Transition from internal to external oxidation for binary alloys in the presence of an outer scale [J]. *Oxid. Met.*, 1986, 25(5/6): 269
- [14] Wagner C. Reaktionstypen bei der oxydation von legierungen [J]. *Zeitschrift fur Elektrochem.*, 1959, 63(7): 772
- [15] Frank W, Engell H J, Seeger A. Solubility and interstitial migration of oxygen in BCC iron [J]. *Trans. Metall. Soc. AIME*, 1968, 242(4): 749
- [16] Ainslie N G, Seybolt A U. Diffusion and solubility of sulphur in iron and silicon-iron alloys [J]. *J. Iron Steel Ins.*, 1960, 194: 341
- [17] Takada J, Yamamoto S, Kikuchi S, et al. Internal oxidation of Fe-Al alloys in the alpha-phase region [J]. *Oxid. Met.*, 1986, 25(1/2): 93
- [18] Bowen A W, Leak G M. Diffusion in BCC iron base alloys [J]. *Metall. Trans.*, 1970, 1(10): 2767
- [19] Gaskell R. Introduction to the Thermodynamics of Materials [M]. 3rd Ed., Washington: Taylor & Francis, 1995